

# АНИЗОТРОПИЯ КОСМИЧЕСКИХ ЛУЧЕЙ В ДРОБНО-ДИФФЕРЕНЦИАЛЬНЫХ МОДЕЛЯХ АНОМАЛЬНОЙ ДИФФУЗИИ

*B. B. Учайкин*<sup>\*</sup>Ульяновский государственный университет  
432017, Ульяновск, Россия

Поступила в редакцию 29 октября 2012 г.

Рассматривается проблема анизотропии галактических космических лучей в двух версиях дробно-дифференциальной модели аномальной диффузии. На примере простейшей задачи о распространении космических лучей от точечного мгновенного источника в бесграничной среде показано, что переход от стандартной диффузионной к дробно-дифференциальной модели Лагутина – Учайкина (с характеристическим показателем  $\alpha = 3/5$  и учетом конечной скорости свободного движения частиц), приводящий к появлению излома в энергетическом спектре при  $10^6$  ГэВ, увеличивает коэффициент анизотропии всего на 20 %, тогда как в модели Лагутина – Тюменцева (характеризующейся показателями  $\alpha = 0.3$ ,  $\beta = 0.8$ , долговременным пребыванием частиц в ловушках и бесконечной скоростью их перелетов) коэффициент анизотропии близок к единице. Причины этого в неправильном выборе параметров модели Лагутина – Тюменцева.

DOI: 10.7868/S0044451013060037

## 1. ВВЕДЕНИЕ

В работе [1] нами была введена и в последующих работах [2, 3] и др. использована новая математическая модель переноса космических лучей в Галактике, основанная на дифференциальном исчислении дробных порядков. В ее основе лежит дробно-дифференциальное уравнение для пропагатора  $G(\mathbf{r}, t)$ , имеющее вид

$$\frac{\partial G}{\partial t} = -K(-\Delta)^{\alpha/2}G(\mathbf{r}, t) = \delta(t)\delta(\mathbf{r}), \quad (1)$$

$$K > 0, \quad \alpha \in (0, 2].$$

При  $\alpha = 2$  оно превращается в обычное (нормальное) диффузионное уравнение, решение которого выражается через трехмерную плотность изотропного гауссова распределения. При  $\alpha < 2$  уравнение (1) описывает изотропное леви-движение, его решение представляется с помощью устойчивой плотности Леви – Фельдгейма, отличающейся от гауссовой наличием степенных хвостов, приводящим к бесконечной дисперсии. Подобно броуновско-

му, леви-движение может быть построено на основе нескольких постулатов, но может быть получено предельным переходом от последовательности перелетов, разделенных интервалами неподвижности (скачкообразный процесс, обозначаемый в англоязычной литературе аббревиатурой CTRW – Continuous Time Random Walk) [4]. При  $\alpha > 1$  уравнение (1) может быть получено как асимптотический предел уравнения непрерывного блуждания с конечной скоростью [5]. При  $\alpha < 1$  средняя длина перелета оказывается бесконечной, что при мгновенности перелетов перестает соответствовать реальному процессу даже в качестве аппроксимации.

В рамках стандартной теории переноса космических лучей коэффициент анизотропии потока, создаваемого точечным мгновенным источником в однородной бесграничной среде, определяется известной формулой [6]

$$\delta(r, t) = \frac{3r}{2vt}. \quad (2)$$

При ее выводе использованы  $P_1$ -приближение теории переноса [7], в котором угловое распределение представляется в виде

$$\Phi(\mathbf{r}, \Omega, t) = \frac{1}{4\pi}vn(\mathbf{r}, t) + \frac{3}{4\pi}\Omega \cdot \mathbf{j}(\mathbf{r}, t), \quad (3)$$

---

\*E-mail: vuchaikin@gmail.com

и второй закон Фика, выражающий вектор плотности тока  $\mathbf{j}$  через градиент концентрации  $n$ :

$$\mathbf{j}(\mathbf{r}, t) = -K \operatorname{grad} n(\mathbf{r}, t). \quad (4)$$

Следует отметить, что, во-первых, разложение (3) предполагает слабую анизотропию потока в рассматриваемой точке и, во-вторых, само диффузионное приближение применимо для описания процесса бужданий при достаточно больших временах, когда частица совершила достаточное число перелетов, чтобы распределение суммарного смещения перешло в асимптотический режим.

При  $\alpha < 2$  дробная степень лапласиана  $-(-\Delta)^{\alpha/2}$  представляет собой нелокальный (интегральный по пространству) оператор с асимптотически степенным ядром

$$K(\mathbf{r}, \mathbf{r}') \propto |\mathbf{r} - \mathbf{r}'|^{-3-\alpha},$$

отражающим далекие турбулентные корреляции межзвездного магнитного поля. В первых наших расчетах было использовано значение  $\alpha = 5/3$ , в этом случае при подходящем подборе «коэффициента диффузии»  $K$  присутствовал излом в энергетическом спектре при  $E = 3 \cdot 10^6$  ГэВ, который исчезал при переходе к стандартной модели диффузии, потому что степенные хвосты пространственного распределения превращались в экспоненциальные. С общепринятой точки зрения этот переход эквивалентен переходу от турбулентной диффузии к диффузии в однородной среде. Разумеется, возможность связать энергетический излом в спектре космических лучей с турбулентностью межзвездных магнитных полей придала импульс дальнейшим исследованиям в этом направлении.

Позднее Лагутин и Тюменцев [8] изменили количественные характеристики модели, не меняя ее по существу: они понизили параметр  $\alpha$  до 0.3 (что породило расходимость среднего пробега) и, кроме того, заменили первую производную по времени, обеспечивавшую ранее марковский характер процесса, производной дробного порядка  $\beta = 0.8$ . В результате этого они пришли к уравнению

$$\begin{aligned} \frac{\partial^\beta G}{\partial t^\beta} &= -K(-\Delta)^{\alpha/2}G(\mathbf{r}, t) = \delta_\beta(t)\delta(\mathbf{r}), \\ \delta_\beta(t) &= \frac{t^{-\beta}}{\Gamma(1-\beta)}, \end{aligned} \quad (5)$$

опубликованному в нашей книге [9], и воспользовались приведенными в [10] решениями в форме дробно-устойчивых распределений.

Назовем для удобства модель с  $\alpha = 5/3$ ,  $\beta = 1$  ЛУ-моделью, а ту же модель с  $\alpha = 0.3$  и  $\beta = 0.8$  — ЛТ-версией. Мы уже критиковали ЛТ-версию в отношении траекторий, приписываемых ею частицам, и временных характеристик процесса [11–14]. В данной работе рассматривается проблема анизотропии в ее простейшем варианте: точечный мгновенный источник в бесконечной однородной среде.

## 2. СТОХАСТИЧЕСКАЯ ИНТЕРПРЕТАЦИЯ ДРОБНО-ДИФФЕРЕНЦИАЛЬНОГО УРАВНЕНИЯ

Когда мы говорим о том, что уравнение (5) описывает процесс аномальной диффузии (аномальных бужданий), мы кое-что не договариваем. Это уравнение всего лишь для плотности пространственно-го распределения частиц в один, хотя и произвольный, момент времени  $t$ . Она (плотность) зависит от пространственной и временной переменных, а также от четырех параметров:  $\alpha$ , определяющего поведение хвостов пространственного распределения;  $\beta$ , характеризующего ее поведение вблизи источника; пространственного  $l$  и временного  $\theta$  масштабов, определяющих в совокупности «коэффициент диффузии»  $K = l^\alpha/\theta^\beta$ . Решения эти выражаются через трехмерные дробно-устойчивые плотности, к числу которых (при  $\alpha = 2$ ,  $\beta = 1$ ) принадлежит гауссово распределение, представляющее собой стандартный результат классической теории диффузии. Слегка (или не слегка) изменяя эти параметры, можно постепенно изменять результаты и те выводы, которые основываются на этих 1-временных (т. е. зависящих только от одного момента времени) распределениях. Игнорируя изменение самого случайного процесса (т. е. множества возможных реализаций с заданной на нем вероятностной мерой), мы обращаемся с этим семейством, как с инструментом аппроксимации, слегка прикрытым флером таинственности дробно-дифференциального аппарата. Наиболее наглядную альтернативу этому подходу дает, конечно, метод Монте-Карло, просто показывающий нам, как меняются с изменением указанных параметров сами траектории, а не общие характеристики их пучков.

Но и в рамках аналитического подхода можно многое увидеть, если научиться «читать» уравнения с дробными производными подобно тому, как мы читаем их с целыми. Чтобы «прочитать» физическое содержание дробно-дифференциального уравнения (5) обратимся к его образу в переменных Фу-

рье–Лапласа ( $\mathbf{r} \Leftrightarrow \mathbf{k}$ ,  $t \Leftrightarrow \lambda$  соответственно):

$$[\lambda^\beta + K|\mathbf{k}|^\alpha]G(\mathbf{k}, \lambda) = \lambda^{\beta-1}. \quad (6)$$

Правую часть этого уравнения легко понять и без дополнительных вычислений. Действительно, при  $\mathbf{k} = 0$  оно принимает вид

$$\lambda^\beta \tilde{G}(0, \lambda) = \lambda^{\beta-1},$$

а

$$\tilde{G}(0, \lambda) = \int_0^\infty e^{-\lambda t} \left[ \int G(\mathbf{r}, t) d\mathbf{r} \right] dt = \int_0^\infty e^{-\lambda t} 1 dt = \frac{1}{\lambda}$$

(интеграл по пространству от плотности пространственного распределения, содержащийся в квадратных скобках, равен единице, как и положено по условиям нормировки). Преобразуем теперь оператор в левой части уравнения (6) к виду

$$\lambda^\beta + K|\mathbf{k}|^\alpha = 1 - [1 - \lambda^\beta - K|\mathbf{k}|^\alpha]. \quad (7)$$

В асимптотическом ( $k \rightarrow \infty$ ,  $t \rightarrow \infty$ ) режиме слагаемые с  $\mathbf{k}$  и  $\lambda$  можно считать бесконечно малыми и воспользоваться асимптотическим соотношением

$$1 - [1 - \lambda^\beta - K|\mathbf{k}|^\alpha] \sim 1 - (1 - \lambda^\beta)(1 - K|\mathbf{k}|^\alpha).$$

Проведя эту замену в (7) и подставив результат в уравнение (6), запишем его в виде

$$\tilde{G}(\mathbf{k}, \lambda) = (1 - \lambda^\beta)(1 - K|\mathbf{k}|^\alpha)\tilde{G}(\mathbf{k}, \lambda) + \lambda^{\beta-1}. \quad (8)$$

Содержимое двух круглых скобок в первом члене правой части можно трактовать как асимптотические выражения для характеристических функций временной и пространственной плотностей вероятностей  $q(t)$  и  $p(\mathbf{r})$ :

$$\tilde{q}(\lambda) \equiv \int_0^\infty e^{-\lambda t} q(t) dt \sim 1 - \lambda^\beta, \quad \lambda \rightarrow 0, \quad (9)$$

и

$$\tilde{p}(\mathbf{k}) \equiv \int e^{-i\mathbf{k}\cdot\mathbf{r}} p(\mathbf{r}) d\mathbf{r} \sim 1 - K|\mathbf{k}|^\alpha, \quad \mathbf{k} \rightarrow 0. \quad (10)$$

Заметим также, что

$$\lambda^{\beta-1} \sim \tilde{Q}(\lambda) = \int_0^\infty e^{-\lambda t} Q(t) dt,$$

где

$$Q(t) = \int_t^\infty q(t') dt'. \quad (11)$$

Заменяя в уравнении (8) асимптотические выражения (9)–(11) их характеристическими обобщениями, получаем

$$[1 - p(k)q(\lambda)]G(\mathbf{k}, \lambda) = Q(\lambda) \equiv \frac{1 - q(\lambda)}{\lambda}.$$

Выполняя обратные преобразования Фурье–Лапласа, приходим к интегральному уравнению,

$$G(\mathbf{r}, t) = \int d\mathbf{r}' \int_0^\infty dt' p(\mathbf{r}') q(t') G(\mathbf{r} - \mathbf{r}', t - t') + \\ + Q(t) \delta(\mathbf{r}), \quad (12)$$

в котором  $p(\mathbf{r})$  и  $q(t)$  характеризуются степенным поведением при больших значениях аргументов:

$$p(\mathbf{r}) = \frac{1}{4\pi r^2} p(r), \quad p(r) \sim \alpha A r^{-1-\alpha}, \quad (13)$$

$$r \equiv |\mathbf{r}| \rightarrow \infty,$$

$$q(t) \sim \beta B t^{-1-\beta}, \quad t \rightarrow \infty. \quad (14)$$

Физический смысл этого допредельного (по отношению к дробно-дифференциальному) уравнения уже более ясен. Действительно, представляя решение этого интегрального уравнения в виде ряда Неймана,

$$G(\mathbf{r}, t) = Q(t) \delta(\mathbf{r}) + \int_0^t dt' Q(t-t') p(\mathbf{r}') q(t') + \dots,$$

видим, что вероятность обнаружить в момент измерения  $t$  частицу в точке  $\mathbf{r}$  складывается из вероятности изначального пребывания частицы в данной точке (первый член), вероятности того, что в один из промежуточных моментов  $t' \in (0, t)$  она совершил мгновенный перескок из точки рождения  $\mathbf{r}_0 = 0$  в точку наблюдения  $\mathbf{r}$  и останется в ней до момента наблюдения  $t$ , (второй член), вероятности обнаружения частицы, совершившей два мгновенных перескока, разделенных между собой временным случайнным интервалом с плотностью  $q(t)$  (следующий член) и т. д. Одномерная траектория такого процесса изображена на рис. 1а: вертикальные отрезки соответствуют пребыванию частицы в покое, когда координата частицы не меняется, горизонтальные отрезки показывают мгновенные перелеты частицы из одной точки в другую, длины этих перелетов случайны и никак не коррелированы с временами задержки частицы в состояниях покоя (будем называть эти состояния ловушками).

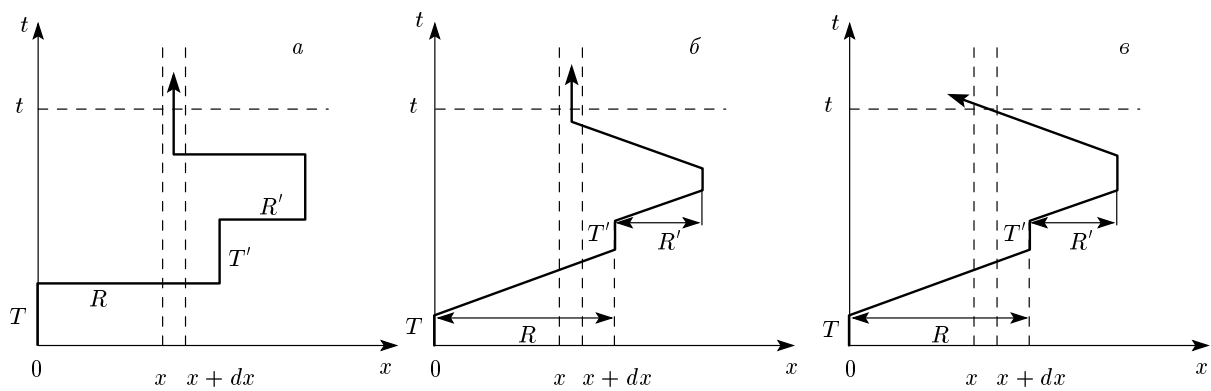


Рис. 1. Начальный фрагмент траектории в координатах  $(x, t)$  частицы с бесконечной (а) и конечной (б, в) скоростями. В последнем случае частица в момент  $t$  может находиться в одном из двух состояний: покоя (б) и движения (в)

Подчеркнем еще раз, что главное отличие движения Леви от движения Броуна — это разрывы траекторий: кривая, описывающая траекторию (след) движения в плоскости  $(x, t)$ , характеризуется многочисленными разрывами вдоль оси  $x$ . Пока производная по  $x$  имела целый (второй) порядок, разрывов не было (были только изломы), когда порядок производной стал дробным, появились разрывы, которые при  $\alpha < 1$  (средний пробег бесконечен) видны на всех масштабах. Выполняющая такое движение частица некоторое время как бы «топчется» в окрестности относительно небольших размеров, затем внезапно «улетает» на большое расстояние и начинает «топтаться» там (рис. 2).

Такой тип движения называют «полетами Леви» (или движением Леви по аналогии с броуновским движением) по имени открывшего устойчивые распределения французского математика. В целом физический процесс, в котором диффузионный пакет расширяется быстрее, чем в нормальном случае, т. е. пропорционально  $t^\gamma$  с  $\gamma > 1/2$ , принадлежит к классу супердиффузионных.

Превращение первой производной по времени в дробную обогащает траекторию разрывами вдоль оси времени (частица замирает: время идет, а она не движется). В плоскости  $(x, t)$  мы видим уже сгустки точек — кластеры, разделенные между собой областями «перелетов» и «сидений в ловушках».

Эта динамика и нуждается в интерпретации при введении дробных производных. Однако сами уравнения записаны для распределения координат частицы в текущий (один) момент времени, и обсуж-

даемая динамика в нем практически<sup>1)</sup> незаметна. Видно лишь, что дробный характер производной приводит к появлению степенных хвостов у плотности пространственного распределения, расходимости дисперсии и изменению скорости расплывания диффузионного пакета (хотя закон этого расплывания по-прежнему остается степенным).

### 3. КОЭФФИЦИЕНТ АНИЗОТРОПИИ В МОДЕЛЯХ С МГНОВЕННЫМИ ПЕРЕЛЕТАМИ

Все три уравнения — нормальное уравнение диффузии ( $\alpha = 2, \beta = 1$ ), уравнение супердиффузии (1) ( $\alpha < 2, \beta = 1$ ) и уравнение аномальной диффузии (5) ( $\alpha < 1, \beta < 1$ ) — имеют автомодельные решения, которые запишем в общем виде (для точечного мгновенного источника концентрация совпадает с пропагатором)

$$n(r, t) = (Kt^\beta)^{-3/\alpha} \Psi^{(\alpha, \beta)}(r(Kt^\beta)^{-1/\alpha}), \quad (15)$$

где  $\Psi^{(\alpha, \beta)}(r)$  — дробно-устойчивая плотность распределения. В модели мгновенных перелетов мы не можем непосредственно воспользоваться классическим соотношением между плотностью потока  $\phi$  и концентрацией  $n$ , однако отношение тока к концентрации вычислить очень легко. Действительно, в рассматриваемой постановке задача сферически симметрична и

<sup>1)</sup> Заметим, что переходная вероятность представлена произведением  $p(\mathbf{r})q(t)$ , означающим статистическую независимость пространственных скачков и разделяющих их временных интервалов.

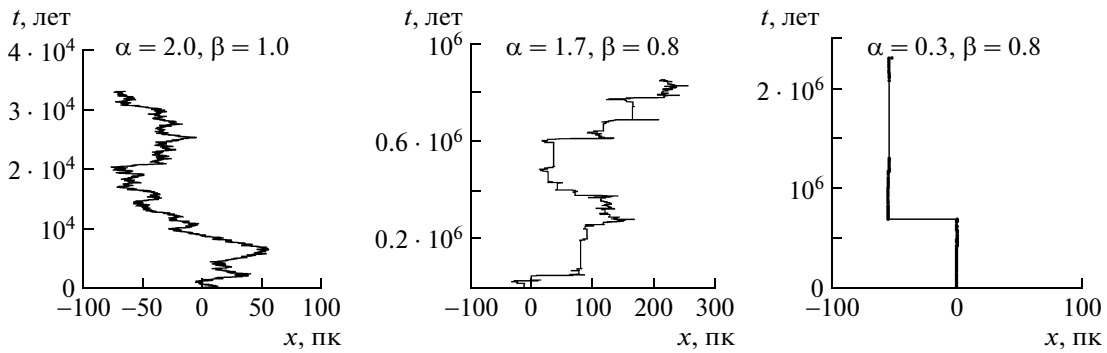


Рис. 2. Типичные реализации одномерных траекторий, соответствующие трем рассматриваемым моделям

$$j(r, t) = j_r(r, t) = \frac{1}{r^2} \frac{d}{dt} \int_r^\infty n(r, t) r^2 dr. \quad (16)$$

Вследствие автомодельного характера решения уравнения (5), интеграл приводится к виду

$$\begin{aligned} \int_r^\infty n(r, t) r^2 dr &= \\ &= \int_r^\infty (Kt^\beta)^{-3/\alpha} \Psi^{(\alpha, \beta)}(r(Kt^\beta)^{-1/\alpha}) r^2 dr = \\ &= \int_{r(Kt^\beta)^{-1/\alpha}}^\infty \Psi^{(\alpha, \beta)}(\xi) \xi^2 d\xi. \end{aligned}$$

Подставляя его в правую часть выражения (16) и выполняя дифференцирование, получим

$$j_r(r, t) = n(r, t) \frac{\beta}{\alpha} \frac{r}{t}.$$

Следовательно, если бы коэффициент анизотропии определялся отношением плотности тока  $j$  к концентрации  $n$ , мы имели бы простую общую формулу для любой автомодельной концентрации:

$$\frac{j_r(r, t)}{n(r, t)} = \frac{\beta}{\alpha} \frac{r}{t}. \quad (17)$$

Если бы частицы двигались с постоянной и одинаковой по величине скоростью  $v$ , тогда плотность потока  $\phi$  выразилась бы через концентрацию  $n$  как  $\phi = vn$  и коэффициент анизотропии в соответствии со стандартным определением принял бы вид

$$\delta(r, t) = \frac{3\beta}{\alpha} \frac{r}{vt}. \quad (18)$$

Для нормальной диффузионной модели ( $\alpha = 2$ ,  $\beta = 1$ ) выражение (18) превращается в известную формулу (2) ([6], с. 96). Неприменимость уравнения (18) к ЛТ-версии объясняется неопределенностью произведения  $vn$  типа  $\infty \cdot 0$ : скорость  $v$  с точки зрения обсуждаемой модели бесконечна, а вместо полной концентрации  $n$  мы должны поставить концентрацию частиц, находящихся в данный момент в движении, но частицы перелетают мгновенно (если бы мы могли их видеть, то видели бы просто исчезновение—появление частиц, но не их движение), поэтому число частиц в полете в момент наблюдения равно нулю. Второе соображение, заставляющее с осторожностью отнестись и к общему результату (15) сводится к тому, что он точен по отношению к дробно-дифференциальному уравнению (5), но само это уравнение представляет собой асимптотику более полного кинетического уравнения (12). Последнее включает в себя распределения пробегов и временных интервалов между перелетами и поэтому однозначно описывает случайные блуждания, тогда как дробно-дифференциальное уравнение содержит всю эту информацию в коэффициенте диффузии, где уже невозможно отделить характеристики длины перелетов от времен ожидания. Несколько огрубляя ситуацию, можно сказать, что коэффициент диффузии

$$K_\infty \approx \frac{\hat{\xi}^\alpha}{\hat{\tau}^\beta}, \quad (19)$$

где  $\hat{\xi}$  и  $\hat{\tau}$  — характеристические масштабы пробега и времени ожидания для данного процесса, а индекс  $\infty$  означает, что речь идет о модели перелетов с бесконечной скоростью.

## 4. БЛУЖДАНИЯ С КОНЕЧНОЙ СКОРОСТЬЮ СВОБОДНОГО ДВИЖЕНИЯ

### 4.1. Случай $\alpha > 1$

Глядя на уравнение (12), мы отчетливо видим взаимную независимость длины вектора перелета и промежутка времени пребывания в ловушке: их совместное распределение  $\psi(\mathbf{r}, t)$  дается произведением их плотностей вероятности:

$$\psi(\mathbf{r}, t) = p(\mathbf{r})q(t).$$

Из-за конечности скорости движения частицы требуется учесть и время, затрачиваемое на сам перелет (рис. 2), тогда уравнение (12) примет вид

$$G_v(\mathbf{r}, t) = \int d\mathbf{r}' \int_0^t dt' p(\mathbf{r}') q(t') \times \\ \times G_v \left( \mathbf{r} - \mathbf{r}', t - \frac{r'}{v} - t' \right) + Q(t)\delta(\mathbf{r}). \quad (20)$$

Если времена пребывания в ловушках имеют более узкое степенное или экспоненциальное распределение, чем пробеги, последние будут играть главную роль в асимптотике больших времен, и ловушки можно игнорировать, т. е. считать, что частица движется непрерывно с постоянной по величине и меняющейся на концах пробегов по направлению скоростью  $\mathbf{v}$ ,

$$\psi(\mathbf{r}, t) = p(\mathbf{r})q(t|\mathbf{r}) = p(\mathbf{r})\delta \left( t - \frac{|\mathbf{r}|}{v} \right).$$

Соответствующий пропагатор удовлетворяет уравнению

$$G(\mathbf{r}, t) = \int d\mathbf{r}' p(\mathbf{r}') G \left( \mathbf{r} - \mathbf{r}', t - \frac{|\mathbf{r}'|}{v} \right) + \delta(t)\delta(\mathbf{r}). \quad (21)$$

В работе [15] показано (и в [16] подтверждено), что при  $\alpha \in (1, 2]$  и  $\beta = 1$  (последнее означает, что среднее время пребывания в ловушке конечно) асимптотика решения уравнения (20) выражается через пропагатор

$$G_\infty(\mathbf{r}, t) \sim (Kt)^{-3/\alpha} \Psi_3^{(\alpha)}(\mathbf{r}(Kt)^{-1/\alpha}), \quad (22)$$

$$t \rightarrow \infty, \quad \alpha \in (1, 2),$$

простой заменой «коэффициента диффузии»:

$$K \mapsto K_v = \frac{K}{1 + V/v}, \quad (23)$$

в которой, как и выше,  $v$  обозначает скорость свободного движения частицы, а  $V$  — средний путь,

проходимый этой частицей в единицу времени при условии мгновенных перелетов. Эта формула может быть выведена как из общего уравнения (20), так и из элементарных соображений. Если дисперсия времени пребывания частицы в ловушке конечна, а перелеты мгновенны, при  $t \rightarrow \infty$  их число стремится к детерминированной функции  $n = \mu t$ , а положение в пространстве представляется случайным вектором

$$\mathbf{r}(t) = \sum_{j=1}^n \mathbf{R}_j \sim (bn)^{1/\alpha} \mathbf{S}(\alpha),$$

где  $\mathbf{S}(\alpha)$  — случайный вектор с изотропным устойчивым распределением порядка  $\alpha \in (1, 2)$ . Учет конечной величины скорости  $v$  увеличивает затраты времени на каждый перелет пропорционально его длине и уменьшает тем самым число таковых за данное время  $t$ :

$$n = \mu t \mapsto n_v = \frac{n}{1 + \mu \langle \xi \rangle / v} = \frac{n}{1 + V/v}.$$

Это преобразование эквивалентно замене

$$t \mapsto t_v = \frac{t}{1 + V/v},$$

так что  $Kt_v = K_v t$ , откуда и следует (23). В результате аналог пропагатора (22) для космических частиц с конечной скоростью записывается в виде

$$G_v(\mathbf{r}, t) \sim (K_v t)^{-3/\alpha} \Psi_3^{(\alpha)}(\mathbf{r}(K_v t)^{-1/\alpha}), \quad (24)$$

$$t \rightarrow \infty, \quad \alpha \in (1, 2),$$

где  $K_v = Kv/(v + V)$ . Таким образом, при  $\alpha > 1$ ,  $\beta = 1$  (т. е. при условии конечности среднего пробега частиц и среднего времени пребывания в ловушке) пропагатор по-прежнему обладает свойством автомодельности и формула (19) остается справедливой. Этим условиям удовлетворяет модель Лагутина–Учайкина. Более того, характеристики времен пробега и пребывания в ловушке входят в знаменатель формулы для  $K_v$  аддитивно, поэтому можно игнорировать наличие неподвижных состояний, полагая, что частица постоянно движется с одной и той же скоростью  $v$ , и коэффициент анизотропии принимает вид

$$\delta(r, t) = \frac{3}{\alpha} \frac{r}{vt}.$$

Поскольку для нормальной диффузии  $\alpha = 2$ , а для ЛУ-модели  $\alpha = 5/3$ , имеем  $\delta_\alpha/\delta = 1.2$ , т. е. переход

от стандартной модели к ЛУ-модели, обеспечивающей появление излома в энергетическом спектре, всего на 20 % повышает коэффициент анизотропии потока от мгновенного точечного источника.

В случае  $\beta < 1$  среднее значение времени пребывания в ловушках бесконечно, а средний пробег конечен, поэтому в асимптотике больших времен ловушки доминируют, связанная с пробегами поправка к скорости исчезает и результат по-прежнему описывается формулой (22) с коэффициентом  $K = K_\infty$  (19).

#### 4.2. Случай $\alpha < 1$

Что же касается области  $\alpha < 1$ , то тут ситуация иная [15–21]. Средний пробег бесконечен, а его распределение степенное. В отсутствие баллистического ограничения (т. е. при  $v = \infty$ ) диффузионный пакет, представляемый автомодельным решением дробно-дифференциального уравнения, распылялся бы пропорционально  $t^{\beta/\alpha}$  и при  $\beta > \alpha$  быстро вышел бы за баллистические границы  $|\mathbf{r}| = vt$ . Ограниченнная скорость движения частиц не дает этого сделать, баллистические границы зажимают диффузионный пакет в конус, придавая ему характерную  $W$ -образную, или даже  $U$ -образную форму [12, 13]. Это форма никак не соответствует решению дробно-дифференциального уравнения, использованному Лагутиным и Тюменцевым. Замечание о неприменимости дробно-дифференциального уравнения в этих условиях было сделано еще в нашей работе [15] и вызвало ответную реакцию авторов работы [16], указавших на то, что при малых временах пространственное распределение укладывается в рамки баллистического ограничения. Дело в том, что в [16] речь шла об интегральном уравнении, адекватно представляющем случайные блуждания при всех временах, тогда как в расчетах Лагутина–Тюменцева использовано решение дробно-дифференциального уравнения, адекватно представляющее лишь долговременную асимптотику скачкообразного процесса, явно противоречащую релятивистской ограниченности скорости. В этом и заключается основная претензия к ЛТ-модели.

Роль баллистических ограничений при  $\alpha < 1$  наглядно проявляется в асимптотическом поведении ширины диффузионного пакета  $\Delta(t) = \sqrt{\langle R^2(t) \rangle}$  при  $t \rightarrow \infty$ . Из асимптотического анализа интегрального уравнения (20) при условиях (13), (14) было найдено [18, 22], что

$$\Delta(t) \sim \begin{cases} \sqrt{1-\alpha} vt, & \alpha < \beta, \\ \left( \frac{A(1-\alpha)}{A+Bv^\alpha} \right)^{1/2} vt, & \alpha = \beta, \\ \left( \frac{2A\Gamma(2-\alpha)v^{-\beta}}{B\Gamma(1-\beta)\Gamma(3-\alpha+\beta)} \right)^{1/2} \times \\ \times (vt)^{1-(\alpha-\beta)/2}, & \alpha > \beta. \end{cases}$$

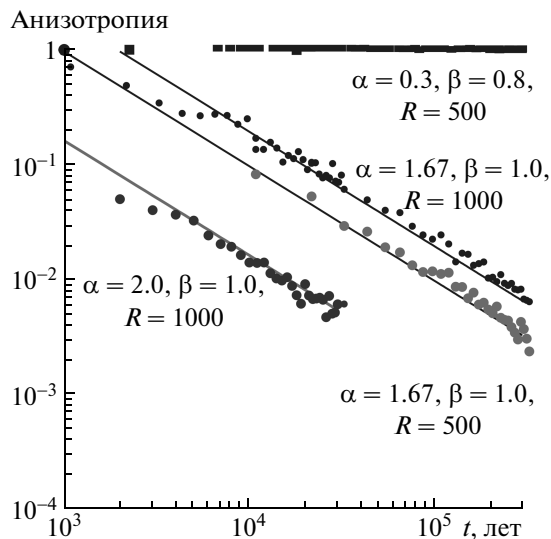
Из верхней строки полученного решения можно сделать вывод, что при  $\alpha < \beta$  (напомним, что в ЛТ-модели  $\alpha = 0.3$  и  $\beta = 0.8$ ) диффузионный пакет представляет собой сферическую оболочку небольшой толщины, прилегающую с внутренней стороны к фронту  $r = vt$ . Такое поведение близко к баллистическому режиму (и переходит в него при  $\alpha \rightarrow 0$ ). Это объясняется присутствием в траектории лидирующего пробега, многократно отличающегося от остальных по длине, и по этой причине имеющего наибольшую вероятность пересечь сферу наблюдения. В силу совокупной малости остальных пробегов пересечение это происходит практически вдоль радиуса, и действительный коэффициент анизотропии в ЛТ-версии близок к единице и не убывает со временем, что противоречит выводам, сделанным в работе [8]. Из этого также следует, что если бы даже ЛТ-версия отвечала реальности, ее не имела бы смысла рассматривать без учета процессов на границах Галактики.

На рис. 3 показаны результаты расчетов<sup>2)</sup> методом Монте-Карло величины  $\delta/3$  (точки) в сопоставлении с приведенными выше формулами (линии). Верхняя горизонтальная линия, составленная из точек (результаты моделирования), соответствует параметрам ЛТ-модели.

#### 5. ЗАКЛЮЧИТЕЛЬНЫЕ ЗАМЕЧАНИЯ

Изложенное выше приводит к выводу о том, что причина несостоятельности ЛТ-версии лежит в неудачном выборе параметров  $\alpha, \beta$ , «коэффициента диффузии» (здесь кавычки, потому что настоящий коэффициент диффузии в ЛТ-версии неприменим вследствие его расходности в этой модели) и, как следствие, масштабных параметров времени и координат. Изначальным критерием выбора было максимальное согласие с энергетическим спектром первичного космического излучения и положением его

<sup>2)</sup> Автор благодарен Р. Т. Сибатову за предоставленные результаты.



**Рис. 3.** Результаты расчетов коэффициента анизотропии потока на расстояниях  $R = 500, 1000$  пк от точечного мгновенного источника с энергией  $E = 10^6$  ГэВ в неограниченной галактической среде для стандартной и двух дробно-дифференциальных моделей

излома, затем решался вопрос обоснования. Выбор  $\beta = 0.8$  был обоснован ссылкой на работу [23], в которой речь шла о диффузии ярких точек в фотосфере Солнца, ассоциированных с магнитными элементами. Рассматривая их блуждание как движение в некой клеточной системе, авторы установили, что это движение проявляет субдиффузионные свойства на временах, меньших 20 мин, когда действительно время пребывания в межклеточных ловушках распределено по степенному закону с показателем  $\beta \approx 0.76$ , обрывающемуся при  $t \approx 20$  мин (см. формулу (1) статьи [23]). Таким образом, ни физических (блуждание магнитных точек в фотосфере Солнца в интервалах, измеряемых десятками минут, никак не соотносится с блужданием космических частиц в Галактике в интервалах, исчисляемых сотнями тысяч лет), ни математических (степенной хвост обрван и по этой причине среднее значение времени пребывания в ловушке конечно, что влечет за собой первый порядок производной по времени) оснований для дробного дифференцирования по времени этот факт не дает.

Выбор  $\alpha = 0.3$  авторы ЛТ-версии обосновали повторением расчетов, выполненных для пробегов среди коррелированной системы галактик. В расчетах учитывалось, что размеры галактик очень малы по сравнению с расстояниями между

ними, поэтому траектории представляли собой длинные прямолинейные участки с редкими компактными кластерами узлов (точек «рассеяния»). Перенос этих результатов на внутригалактическую среду означает предположение, что межзвездное магнитное поле сосредоточено в неоднородностях (облаках), столь же относительно малых по размерам и так же редко разбросанных в пространстве, как галактики во Вселенной, что, конечно, противоречит сегодняшним представлениям.

Работа выполнена в рамках государственного задания Министерства образования и науки России 2.1894.2011 и при финансовой поддержке РФФИ (гранты №№ 12-01-00660, 13-01-00585).

## ЛИТЕРАТУРА

1. А. А. Лагутин, Ю. А. Никулин, В. В. Учайкин, Препринт Алтайского гос. унив. № 4, Барнаул (2000); A. A. Lagutin, Yu. A. Nikulin, and V. V. Uchaikin, Nucl. Phys. B (Proc. Suppl.) **97**, 267 (2001).
2. A. A. Lagutin and V. V. Uchaikin, Nucl. Instr. Meth. Phys. Res. B **201**, 212 (2003).
3. В. В. Учайкин, ЖЭТФ **124**, 903 (2003).
4. В. В. Учайкин, УФН **173**, 847 (2003).
5. V. V. Uchaikin, Physica A **255**, 65 (1998).
6. С. Хаякава, *Физика космических лучей, ч. 2, Астрофизический аспект*, Мир, Москва (1974).
7. А. М. Кольчужкин, В. В. Учайкин, *Введение в теорию прохождения частиц через вещество*, Атомиздат, Москва (1978).
8. А. А. Лагутин, А. Г. Тюменцев, Изв. Алтайского гос. унив. № 5, 4 (2004).
9. V. V. Uchaikin and V. M. Zolotarev, *Chance and Stability. Stable Distributions and their Applications*, Utrecht, VCP (1999).
10. V. V. Uchaikin, Int. J. Theor. Phys. **39**, 2087 (2000).
11. В. В. Учайкин, Письма в ЖЭТФ **91**, 115 (2010).
12. V. V. Uchaikin, R. T. Sibatov, and V. V. Saenko, in *Proc. 32<sup>nd</sup> ICRC*, Beijing (2011), p. 1249.
13. V. V. Uchaikin, R. T. Sibatov, and V. V. Saenko, arXiv:1207.0937v1.
14. V. V. Uchaikin and R. T. Sibatov, Gravitation and Cosmology **18**, 122 (2012).

15. В. М. Золотарев, В. В. Учайкин, В. В. Саенко, ЖЭТФ **115**, 1411 (1999).
16. В. Ю. Забурдаев, К. В. Чукбар, ЖЭТФ **121**, 299 (2002).
17. G. Zumofen and J. Klafter, Phys. Rev. E **47**, 851 (1993).
18. V. V. Uchaikin, Physica A **255**, 65 (1998).
19. E. Barkai, Chem. Phys. **284**, 13 (2002).
20. I. M. Sokolov and R. Metzler, Phys. Rev. E **67**, 010101(R) (2003).
21. В. В. Учайкин, Р. Т. Сибатов, Письма в ЖТФ **30**, 27 (2004).
22. В. В. Учайкин, ТМФ **115**, 154 (1998).
23. A. C. Cadavid, J. K. Lawrence, and A. A. Ruzmaikin, Astrophys. J. **521**, 844 (1999).